

1  
Inscription pour les projets numériques avant demain!

# APPROXIMATION NUMERIQUE ET OPTIMISATION

**G. ALLAIRE**

**4 Septembre 2018**

CHAPITRE II (début)

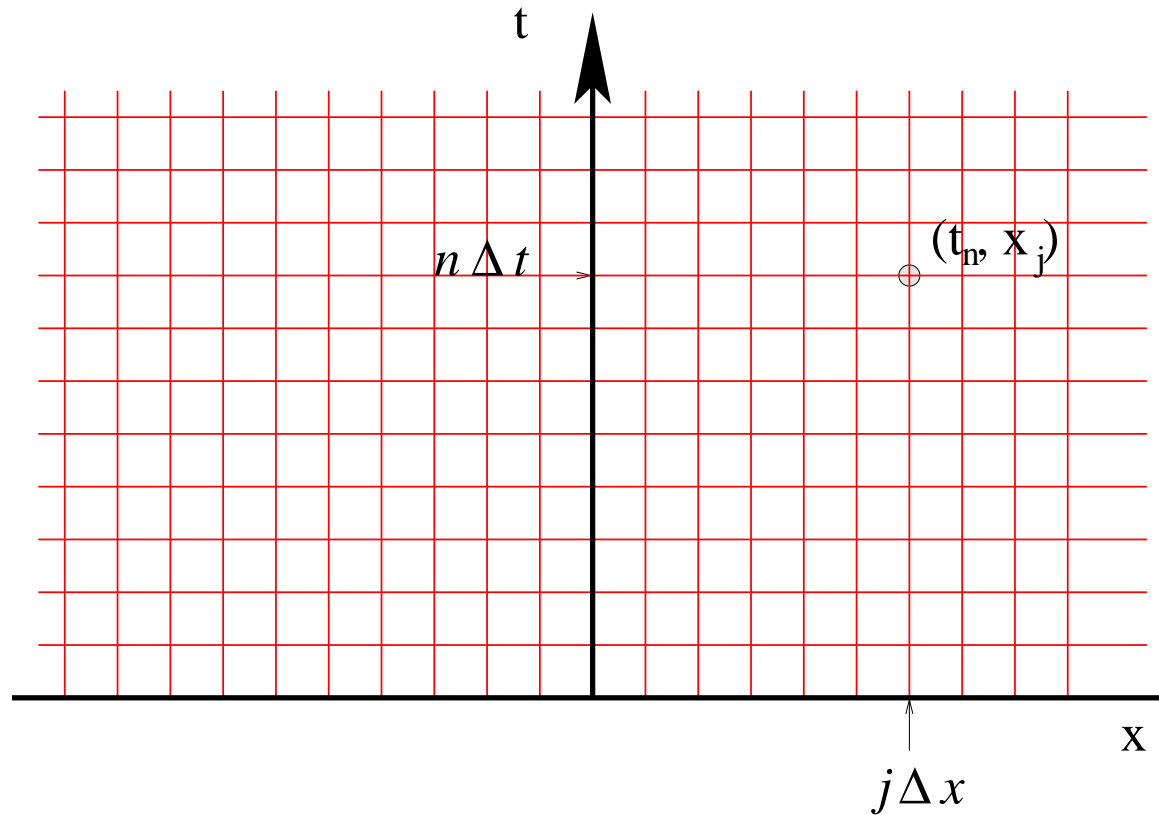
- ☞ Différences finies pour l'équation de la chaleur.
- ☞ Consistance, précision, stabilité (analyse de Fourier et principe du maximum).
- ☞ Convergence (théorème de Lax).

## Equation de la chaleur

$$\left\{ \begin{array}{ll} \frac{\partial u}{\partial t} - \nu \frac{\partial^2 u}{\partial x^2} = 0 & \text{dans } (0, 1) \times \mathbb{R}_*^+ \\ u(t, 0) = u(t, 1) = 0 & \text{sur } \mathbb{R}_*^+ \\ u(t = 0, x) = u_0(x) & \text{dans } (0, 1) \end{array} \right.$$

**Remarque.** On verra d'autres modèles la semaine prochaine...

## Différences finies



**Maillage:** discrétisation de l'espace et du temps

$$(t_n, x_j) = (n\Delta t, j\Delta x) \quad \text{pour} \quad n \geq 0, j \in \mathbb{Z}$$

$\Delta t =$  pas de temps,  $\Delta x =$  pas d'espace (supposés "petits").

## Principe des différences finies

On calcule des **approximations**

$$u_j^n \approx u(t_n, x_j)$$

On remplace les dérivées par des **différences finies** (pas d'unicité des formules d'approximation).

On utilise des **formules de Taylor**. Par exemple

$$\begin{aligned} -u(t, x - \Delta x) + 2u(t, x) - u(t, x + \Delta x) = & -(\Delta x)^2 \frac{\partial^2 u}{\partial x^2}(t, x) \\ & - \frac{(\Delta x)^4}{12} \frac{\partial^4 u}{\partial x^4}(t, x) + \mathcal{O}\left((\Delta x)^6\right) \end{aligned}$$

On en déduit la formule centrée (en espace)

$$-\frac{\partial^2 u}{\partial x^2}(t_n, x_j) \approx \frac{-u_{j-1}^n + 2u_j^n - u_{j+1}^n}{(\Delta x)^2}$$

## Exemples de schémas pour l'équation de la chaleur

⇒ schéma d'Euler explicite:

$$\frac{u_j^{n+1} - u_j^n}{\Delta t} + \nu \frac{-u_{j-1}^n + 2u_j^n - u_{j+1}^n}{(\Delta x)^2} = 0$$

⇒ schéma d'Euler implicite:

$$\frac{u_j^{n+1} - u_j^n}{\Delta t} + \nu \frac{-u_{j-1}^{n+1} + 2u_j^{n+1} - u_{j+1}^{n+1}}{(\Delta x)^2} = 0$$

⇒  $\theta$ -schéma:

$$\frac{u_j^{n+1} - u_j^n}{\Delta t} + \theta \nu \frac{-u_{j-1}^{n+1} + 2u_j^{n+1} - u_{j+1}^{n+1}}{(\Delta x)^2} + (1 - \theta) \nu \frac{-u_{j-1}^n + 2u_j^n - u_{j+1}^n}{(\Delta x)^2} = 0$$

⇒ schéma de Gear:

$$\frac{3u_j^{n+1} - 4u_j^n + u_j^{n-1}}{2\Delta t} + \nu \frac{-u_{j-1}^{n+1} + 2u_j^{n+1} - u_{j+1}^{n+1}}{(\Delta x)^2} = 0$$

## Quelques notations

On note  $F(u) = 0$  une **équation aux dérivées partielles**.

Pour des indices  $n, j$ , un **schéma aux différences finies** est noté

$$F_{\Delta t, \Delta x} \left( \{u_{j+k}^{n+m}\}_{m^- \leq m \leq m^+, k^- \leq k \leq k^+} \right) = 0$$

où les entiers  $m^-, m^+, k^-, k^+$  définissent la largeur du **stencil**.

## Consistance et précision

**Définition.** Un schéma aux différences finies est dit **consistant** avec l'EDP  $F(u) = 0$ , si, pour toute solution  $u(t, x)$  suffisamment régulière, **l'erreur de troncature** du schéma, définie par

$$F_{\Delta t, \Delta x} \left( \{u(t + m\Delta t, x + k\Delta x)\}_{m^- \leq m \leq m^+, k^- \leq k \leq k^+} \right),$$

tend vers zéro lorsque  $\Delta t$  et  $\Delta x$  tendent vers zéro **indépendamment**.

On dit que le schéma est **précis** à l'ordre  $p$  en espace et à l'ordre  $q$  en temps si

$$F_{\Delta t, \Delta x} \left( \{u(t + m\Delta t, x + k\Delta x)\}_{m, k} \right) = \mathcal{O} \left( (\Delta x)^p + (\Delta t)^q \right)$$

lorsque  $\Delta t$  et  $\Delta x$  tendent vers zéro.

**Remarque. Attention** à une possible ambiguïté dans la définition du schéma !

Pour une fonction  $u(t, x)$  qui n'est pas solution, il faut que

$$\lim_{\Delta t, \Delta x \rightarrow 0} F_{\Delta t, \Delta x} (\{u(t + m\Delta t, x + k\Delta x)\}_{m,k}) \neq 0.$$

Sinon, on pourrait multiplier n'importe quel schéma par  $(\Delta x)^p$  et  $(\Delta t)^q$  (avec  $p, q$  grands) pour qu'il soit consistant.

Exemple

$$\frac{u_j^{m+1} - u_j^m}{\Delta t} + \nu \frac{-u_{j-1}^m + 2u_j^m - u_{j+1}^m}{(\Delta x)^2} = 0$$

$$\Leftrightarrow u_j^{m+1} = c u_{j-1}^m + (1 - 2c) u_j^m + c u_{j+1}^m \quad c = \frac{\nu \Delta t}{(\Delta x)^2}$$



## Exemple

**Lemme.** Le schéma de Crank-Nicolson ( $\theta$ -schéma avec  $\theta = 1/2$ ) est consistant et précis à l'ordre 2 en  $t$  et  $x$ .

**Preuve.**

$$\frac{u_j^{n+1} - u_j^n}{\Delta t} + \nu \frac{-u_{j-1}^{n+1} + 2u_j^{n+1} - u_{j+1}^{n+1}}{2(\Delta x)^2} + \nu \frac{-u_{j-1}^n + 2u_j^n - u_{j+1}^n}{2(\Delta x)^2} = 0$$

On choisit astucieusement le point  $(t^{n+1/2}, x_j)$  autour duquel on fait un DL de Taylor

Erreur de troncature : 
$$\tau_{\Delta t, \Delta x} = \frac{u(t^{n+1}, x_j) - u(t^n, x_j)}{\Delta t} + \frac{\nu}{2(\Delta x)^2} \left[ -u(t^{n+1}, x_{j-1}) + 2u(t^{n+1}, x_j) - u(t^{n+1}, x_{j+1}) \right] + \frac{\nu}{2(\Delta x)^2} \left[ \text{---} \right]_{t^n}$$

$$u(t^{n+1}, x_j) = u(t^{n+1/2}, x_j) + \frac{\Delta t}{2} \frac{\partial u}{\partial t}(t^{n+1/2}, x_j) + \frac{1}{2} \left( \frac{\Delta t}{2} \right)^2 \frac{\partial^2 u}{\partial t^2} + \mathcal{O}(\Delta t)^3$$

$$u(t^n, x_j) = \text{---} - \frac{\Delta t}{2} \frac{\partial u}{\partial t} + \frac{1}{2} \left( \frac{\Delta t}{2} \right)^2 \frac{\partial^2 u}{\partial t^2} + \mathcal{O}(\Delta t)^3$$

$$\Rightarrow \frac{u(t^{n+1}, x_j) - u(t^n, x_j)}{\Delta t} = \frac{\partial u}{\partial t}(t^{n+1/2}, x_j) + \mathcal{O}(\Delta t)^2 \Rightarrow \tau_{\Delta t, \Delta x} = \frac{\partial u}{\partial t} - \nu \frac{\partial^2 u}{\partial x^2} + \mathcal{O}(\Delta t)^2 + \mathcal{O}(\Delta x)^2$$

## Stabilité

On utilise deux normes

$$\|u^n\|_2 = \left( \sum_{j=1}^N \Delta x |u_j^n|^2 \right)^{1/2} \quad \text{et} \quad \|u^n\|_\infty = \max_{1 \leq j \leq N} |u_j^n|$$

**Définition.** Un schéma aux différences finies est dit **stable** pour la norme  $\|\cdot\|$ , s'il existe une constante  $K > 0$  indépendante de  $\Delta t$  et  $\Delta x$  telle que

$$\|u^n\| \leq K \|u^0\| \quad \text{pour tout } n \geq 0,$$

**quelle que soit** la donnée initiale  $u^0$ .

Si cette inégalité n'a lieu que pour des pas  $\Delta t$  et  $\Delta x$  astreints à certaines inégalités, on dit que le schéma est **conditionnellement stable**.

**Remarque.** Il suffit d'une seule donnée initiale  $u^0$  pour prouver l'instabilité.

**Remarque.** La stabilité pour une norme n'implique pas celle pour une autre !

Stabilité en norme  $L^\infty$ ,  $\|u^n\|_\infty$

La méthode classique pour obtenir la stabilité  $L^\infty$  est le **principe du maximum discret**.

**Définition.** Un schéma aux différences finies vérifie le **principe du maximum discret** si pour tout  $n \geq 0$  et tout  $1 \leq j \leq N$  on a

$$\min \left( 0, \min_{0 \leq j \leq N+1} u_j^0 \right) \leq u_j^n \leq \max \left( 0, \max_{0 \leq j \leq N+1} u_j^0 \right)$$

quelle que soit la donnée initiale  $u^0$ .

**Remarque.** Il y a un 0 dans les min et max à cause des conditions aux limites de Dirichlet.

**Lemme 1.** Le schéma explicite est stable en norme  $L^\infty$  si et seulement si la condition CFL  $2\nu\Delta t \leq (\Delta x)^2$  est satisfaite.

Voir le premier amphi pour la preuve.

**Lemme 2.** Le schéma implicite est stable en norme  $L^\infty$  quel que soit les pas de temps  $\Delta t$  et d'espace  $\Delta x$ .

Preuve. 
$$\frac{u_j^{n+1} - u_j^n}{\Delta t} + \nu \frac{-u_{j-1}^{n+1} + 2u_j^{n+1} - u_{j+1}^{n+1}}{(\Delta x)^2} = 0$$
 Soit  $c = \frac{\nu\Delta t}{(\Delta x)^2}$

$$(1+2c)u_j^{n+1} = u_j^n + c(u_{j-1}^{n+1} + u_{j+1}^{n+1})$$

Soit  $\Pi = \max_j u_j^n$  et  $\Pi' = \max_j u_j^{n+1}$ .

Soit  $j_0$  l'indice tel que  $u_{j_0}^{n+1} = \Pi' \Rightarrow u_{j_0-1}^{n+1} \text{ et } u_{j_0+1}^{n+1} \leq u_{j_0}^{n+1}$

$$(1+2c)u_{j_0}^{n+1} \leq u_{j_0}^n + 2c u_{j_0}^{n+1} \Rightarrow u_{j_0}^{n+1} = \Pi' \leq u_{j_0}^n \leq \Pi$$

$$\Rightarrow \max_j u_j^{n+1} \leq \max_j u_j^n$$

Même chose pour le min.

Stabilité en norme  $L^2$ ,  $\|u^n\|_2$

La méthode classique pour obtenir la stabilité  $L^2$  est l'analyse de Fourier.

**Pour l'appliquer, on considère toujours des conditions aux limites de périodicité.**

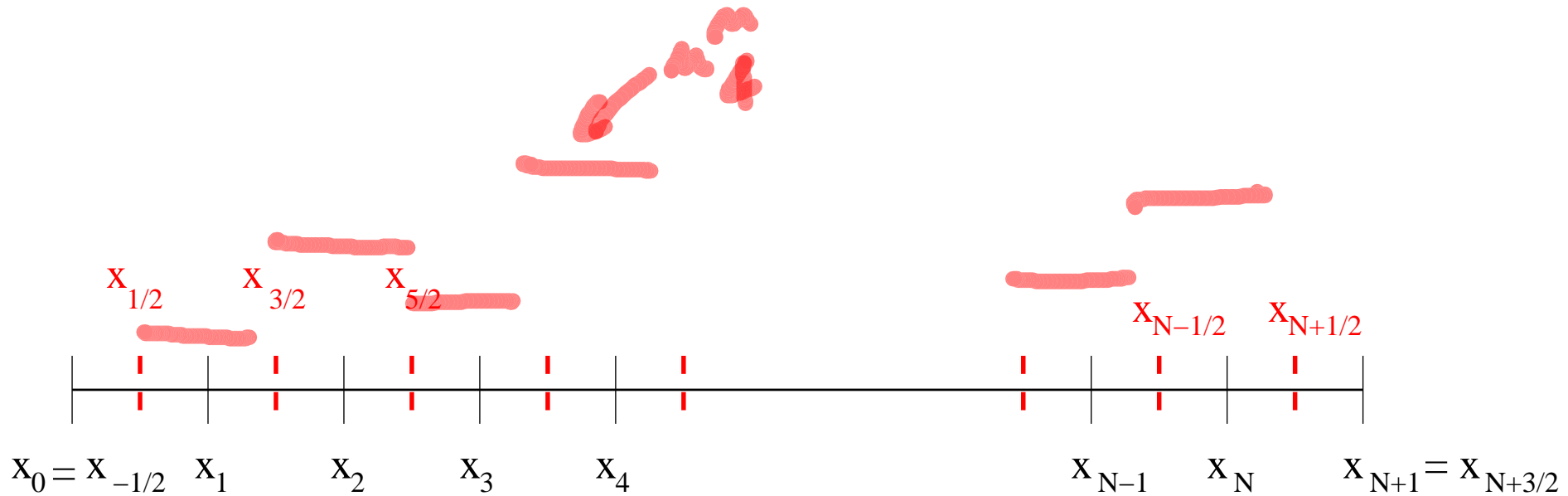
$$\left\{ \begin{array}{ll} \frac{\partial u}{\partial t} - \nu \frac{\partial^2 u}{\partial x^2} = 0 & \text{dans } [0, 1] \times \mathbb{R}_*^+ \\ u(t, x + 1) = u(t, x) & \text{sur } \mathbb{R} \times \mathbb{R}_*^+ \\ u(t = 0, x) = u_0(x) & \text{dans } (0, 1) \end{array} \right.$$

Numériquement, la condition aux limites de périodicité est:

$$u_j^n = u_{N+1+j}^n$$

avec  $\Delta x = 1/(N + 1)$  et  $x_j = j\Delta x$ .

## Transformée de Fourier du schéma



Pour  $(u_j^n)_{0 \leq j \leq N+1}$ , avec  $u_0^n = u_{N+1}^n$  on associe une fonction  $u^n(x)$ , **périodique** de période 1, définie sur  $[0, 1]$  par

$$u^n(x) = u_j^n \quad \text{si} \quad x_{j-1/2} < x < x_{j+1/2}$$

avec  $x_{j+1/2} = (j + 1/2)\Delta x$  pour  $0 \leq j \leq N$ ,  $x_{-1/2} = 0$  et  $x_{N+1+1/2} = 1$ .

$$\int_0^1 |u^n(x)|^2 dx = \|u^n\|_2^2$$

## Transformée de Fourier du schéma (suite)

On peut décomposer une fonction périodique  $u^n(x)$  en une **série de Fourier**

$$u^n(x) = \sum_{k \in \mathbb{Z}} \hat{u}^n(k) \exp(2i\pi kx),$$

$\in \mathbb{C}$  même  
si  $u^n(x) \in \mathbb{R}$

avec  $\hat{u}^n(k) = \int_0^1 u^n(x) \exp(-2i\pi kx) dx$  et la formule de Plancherel

$$\int_0^1 |u^n(x)|^2 dx = \sum_{k \in \mathbb{Z}} |\hat{u}^n(k)|^2.$$

**Lemme.** Soit  $v^n(x) = u^n(x + \Delta x)$ . Alors  $\hat{v}^n(k) = \hat{u}^n(k) \exp(2i\pi k \Delta x)$ .

**Preuve.** 
$$\hat{v}^n(k) = \int_0^1 v^n(x) e^{-2i\pi kx} dx = \int_0^1 u^n(x + \Delta x) e^{-2i\pi kx} dx$$

Soit  $y = x + \Delta x \rightarrow$

$$\begin{aligned} \hat{v}^n(k) &= \int_0^1 u^n(y) e^{-2i\pi k(y - \Delta x)} dy \\ &= \hat{u}^n(k) \underline{\underline{e^{+2i\pi k \Delta x}}} \end{aligned}$$



$$c = \frac{\nu \Delta t}{(\Delta x)^2} \quad \hat{u}^{n+1}(k) - \hat{u}^n(k) + c \left[ -\hat{u}^n(k) e^{-2i\pi k \Delta x} + 2\hat{u}^n(k) - \hat{u}^n(k) e^{2i\pi k \Delta x} \right] = 0$$

### Exemple d'application

Soit le schéma explicite

$$\frac{u_j^{n+1} - u_j^n}{\Delta t} + \nu \frac{-u_{j-1}^n + 2u_j^n - u_{j+1}^n}{(\Delta x)^2} = 0$$

On peut le réécrire pour  $0 \leq x \leq 1$

$$\frac{u^{n+1}(x) - u^n(x)}{\Delta t} + \nu \frac{-u^n(x - \Delta x) + 2u^n(x) - u^n(x + \Delta x)}{(\Delta x)^2} = 0.$$

Par application de la transformée de Fourier, il vient

$$\hat{u}^{n+1}(k) = \left( 1 - \frac{\nu \Delta t}{(\Delta x)^2} (-\exp(-2i\pi k \Delta x) + 2 - \exp(2i\pi k \Delta x)) \right) \hat{u}^n(k).$$

$$\Rightarrow \hat{u}^n(k) = A(k)^n \hat{u}_0(k) = A(k)^n$$

## Calcul

**Lemme.** Le schéma explicite est stable en norme  $L^2$  si et seulement si la condition CFL  $2\nu\Delta t \leq (\Delta x)^2$  est satisfaite.

**Preuve.**  $A(k) = 1 - c \left( -e^{2i\pi k \Delta x} + 2 - e^{-2i\pi k \Delta x} \right)$

$$= 1 - c(2 - 2 \cos 2\pi k \Delta x) = 1 - 4c \sin^2 \pi k \Delta x \leq 1$$

Quelle condition pour que  $A(k) \geq -1 \quad \forall k \in \mathbb{Z} \quad \forall \Delta x > 0$

$$4c \sin^2 \pi k \Delta x \leq 2 \quad \Rightarrow \quad 2c \sin^2 \pi k \Delta x \leq 1 \quad \text{car on a } \underline{2c \leq 1}$$

Si  $2c \leq 1$  (CFL!)  $\Rightarrow |A(k)| \leq 1 \quad \Rightarrow \quad |\hat{u}^n(k)| \leq |\hat{u}^0(k)|$

$$\|u^n\|_2^2 = \int_{-\pi}^{\pi} |u^n(x)|^2 dx = \sum_{k \in \mathbb{Z}} |\hat{u}^n(k)|^2 \leq \sum_{k \in \mathbb{Z}} |\hat{u}^0(k)|^2 = \|u^0\|_2^2$$

stable pour  $\kappa = 1$  Si  $2c > 1$ , alors  $\exists \Delta x > 0$  petit et  $k_0$  "grand"

tel que  $k_0 \Delta x \approx \frac{1}{2}$

$$\sin^2 \pi k_0 \Delta x \approx 1 \quad \Rightarrow \quad 2c \sin^2 \pi k_0 \Delta x > 1$$

Soit la donnée initiale  $u_0(x)$  telle que  $\hat{u}_0(k) \neq 0 \quad \forall k \neq k_0$

$$\hat{u}_0(k_0) = 1$$

$$\Rightarrow |\hat{u}^n(k_0)| \rightarrow +\infty \quad n \rightarrow +\infty$$

## Condition de stabilité de Von Neumann

Il s'agit d'une "recette" de calcul pour étudier la stabilité  $L^2$  d'un schéma.

On injecte dans le schéma un mode de Fourier

$$u_j^n = A(k)^n \exp(2i\pi k x_j) \quad \text{avec} \quad x_j = j\Delta x,$$

et on en déduit la valeur du facteur d'amplification  $A(k)$  pour que cela soit une solution du schéma. Si

$$|A(k)| \leq 1 \quad \text{pour tout mode } k \in \mathbb{Z},$$

on dit que le schéma vérifie la condition de stabilité de Von Neumann.

Si la condition n'est pas vérifiée, le schéma est instable.

(C'est une condition **nécessaire** de stabilité, pas forcément **suffisante**.)

Exemple: schéma implicite

$$c = \frac{v \Delta t}{(\Delta x)^2}$$

$$x_{j+1} = x_j + \Delta x$$

$$\frac{u_j^{n+1} - u_j^n}{\Delta t} + v \frac{-u_{j-1}^{n+1} + 2u_j^{n+1} - u_{j+1}^{n+1}}{(\Delta x)^2} = 0$$

On cherche une solution particulière  $u_j^n = A(k)^n e^{2i\pi k x_j}$

$$A(k)^{n+1} e^{2i\pi k x_j} - A(k)^n e^{2i\pi k x_j} + c \left[ -A(k)^{n+1} e^{2i\pi k x_{j-1}} + 2e^{2i\pi k x_j} - e^{2i\pi k x_{j+1}} \right] = 0$$

$$A(k) - 1 + c A(k) \left[ -e^{-2i\pi k \Delta x} + 2 - e^{+2i\pi k \Delta x} \right] = 0$$

$$A(k) \left[ 1 + 4c \sin^2 \pi k \Delta x \right] = 1$$

$$0 \leq A(k) = \frac{1}{1 + 4c \sin^2 \pi k \Delta x} \leq 1$$

## Vocabulaire

**Définitions.** Un schéma à deux niveaux est un schéma dont la formule ne fait intervenir que les pas de temps  $n$  et  $n + 1$ .

Un schéma linéaire est un schéma dont la formule est linéaire en ses arguments  $u_j^n$ .

**Notations.**  $u^n = (u_j^n)_{1 \leq j \leq N}$

linéaire à 2 niveaux  $\Rightarrow \exists$  matrice  $A$  d'itération  $u^{n+1} = Au^n$

Lemme schéma stable  $\Leftrightarrow \exists k > 0$  indépendante de  $n$  tel que  $\|A^n\| \leq k$   
 $C_{\infty}$

Norme matricielle subordonnée :  $\|A\| = \sup_{\substack{x \in \mathbb{R}^n \\ \|x\| = 1}} \|Ax\|$   
norme matricielle norme vectorielle

Ein effekt: stabil  $\Leftrightarrow$

$$\begin{array}{l}
 \|A^m\| \leq \kappa \|m\| \quad \forall m_0 \in \mathbb{R}^N \\
 \downarrow \\
 A^m m_0 \Rightarrow \frac{\|A^m m_0\|}{\|m_0\|} \leq \kappa \\
 \uparrow \\
 \sup_{m_0 \in \mathbb{R}^N} \quad \Leftrightarrow \|A^m\| \leq \kappa
 \end{array}$$

## Théorème de Lax (convergence des schémas)

### Théorème.

Soit  $u(t, x)$  la solution (régulière) de l'équation de la chaleur. Soit  $u_j^n$  la solution numérique discrète obtenue par un schéma de différences finies avec la donnée initiale  $u_j^0 = u_0(x_j)$ . On suppose que le schéma est **linéaire, à deux niveaux, consistant, et stable** pour une norme  $\| \cdot \|$ . Alors le schéma est **convergent** au sens où

$$\forall T > 0, \quad \lim_{\Delta t, \Delta x \rightarrow 0} \left( \sup_{t_n \leq T} \|e^n\| \right) = 0,$$

avec  $e^n$  le vecteur **d'erreur** défini par ses composantes  $e_j^n = u_j^n - u(t_n, x_j)$ .

De plus, si le schéma est précis à l'ordre  $p$  en espace et à l'ordre  $q$  en temps, alors pour tout temps  $T > 0$  il existe une constante  $C_T > 0$  telle que

$$\sup_{t_n \leq T} \|e^n\| \leq C_T \left( (\Delta x)^p + (\Delta t)^q \right).$$

## Démonstration

Consistance + stabilité  $\implies$  Convergence

matrice  
itération

Remarque Le schéma linéaire à 2 niveaux  $u^{n+1} = Au^n$  n'est pas sous forme "standard" pour la consistance. Il faut diviser par  $\Delta t$ :

$$\frac{u^{n+1}}{\Delta t} = \frac{A}{\Delta t} u^n$$

Soit  $u_j^m = u(t^m, x_j)$ . On a l'erreur  $e_j^m = u_j^m - \tilde{u}_j^m$

Consistance  $E_{M, \Delta x} = \frac{u^{n+1}}{\Delta t} - \frac{A u^{n+1}}{\Delta t} = \frac{\varepsilon^m}{\Delta t, \Delta x \rightarrow 0} \rightarrow 0$  pour une solution

↑  
erreur de troncature

$$\frac{e^{n+1}}{\Delta t} - \frac{A}{\Delta t} e^n = -\varepsilon^n$$

$\implies$

$$e^{n+1} = A e^n - \Delta t \varepsilon^n$$

$$\implies e^n = A^n e^0 - \Delta t \sum_{k=1}^n A^{n-k} \varepsilon^k$$



$$e^m = A^m e_0 - \Delta t \sum_{k=1}^m A^{m-k} \Sigma^k$$

$$e_0 = 0 \Rightarrow \|e^m\| \leq \Delta t \sum_{k=1}^m \|A^{m-k}\| \|\Sigma^k\|$$

$\leq C$  indep de  $m$  et  $k$  (stabilité)

$$\Rightarrow \|e^m\| \leq \Delta t \sum_{k=1}^m C \|\Sigma^k\|$$

$$\leq C \underbrace{m \Delta t}_{\leq T} \max_{1 \leq k \leq m} \|\Sigma^k\| \longrightarrow 0$$

Si le schéma est précis  $\Rightarrow \max_{1 \leq k \leq m} \|\Sigma^k\| \leq C ((\Delta t)^q + (\Delta x)^p)$

$$\Rightarrow \|e^m\| \leq C T ((\Delta t)^q + (\Delta x)^p)$$

$\forall m$  et  $t^m \leq T$